

УДК 519.633

## АНАЛИТИКО-ЧИСЛЕННЫЙ ПОДХОД ДЛЯ ОПИСАНИЯ ПЕРИОДИЧЕСКИХ ПО ВРЕМЕНИ ДВИЖУЩИХСЯ ФРОНТОВ В СИНГУЛЯРНО ВОЗМУЩЕННЫХ МОДЕЛЯХ РЕАКЦИЯ–ДИФФУЗИЯ–АДВЕКЦИЯ<sup>1)</sup>

© 2019 г. В. Т. Волков<sup>1,\*</sup>, Д. В. Лукьяненко<sup>1,\*\*</sup>, Н. Н. Нефедов<sup>1,\*\*\*</sup>

(<sup>1</sup>119992 Москва, Ленинские горы, МГУ, физ. ф-т, Россия)

\*e-mail: volkovvt@mail.ru

\*\*e-mail: lukyanenko@physics.msu.ru

\*\*\*e-mail: nefedov@physics.ru

Поступила в редакцию 24.08.2018 г.

В настоящей работе представлен аналитико-численный подход к изучению движущихся фронтов в сингулярно возмущенных моделях типа реакция–диффузия–адвекция. Предложен метод генерации динамически адаптированной сетки для эффективного численного решения задач данного класса. Метод основан на априорной информации о движении и свойствах фронта, полученной в результате строгого асимптотического анализа сингулярно возмущенной параболической задачи. В частности, существенными параметрами, которые учитываются при построении сетки, являются оценки местоположения переходного слоя, его ширина и структура. Предлагаемый аналитико-численный подход позволяет значительно сэкономить вычислительные ресурсы, сократить время счета и повысить стабильность работы вычислительного процесса по сравнению с классическими подходами. Рассмотрен пример, демонстрирующий основные идеи и методику применения предлагаемого подхода. Библ. 21. Фиг. 5.

**Ключевые слова:** модели типа реакция–диффузия–адвекция, сингулярные возмущения, движущиеся фронты, аналитико-численный метод.

**DOI:** 10.1134/S0044466919010150

### 1. ВВЕДЕНИЕ

Решения сингулярно возмущенных параболических задач часто содержат характерные узкие пограничные и внутренние слои (стационарные или движущиеся фронты.) Численное исследование таких задач с помощью разностных схем требует использования сеток с очень большим количеством узлов. Это приводит в некоторых случаях к значительным вычислительным затратам, а также к неустойчивости численных алгоритмов. Для преодоления обеих проблем мы предлагаем асимптотико-численный подход к решению задач с движущимися внутренними слоями в нелинейных моделях типа реакция–диффузия–адвекция. Основная идея подхода базируется на следующем: чем меньше параметр  $\varepsilon$  в сингулярно возмущенной задаче, тем более грубым и неустойчивым получается его численное решение; в то же время, тем более точную априорную информацию о решении возможно получить с помощью асимптотического анализа. Соответствующее сочетание асимптотического подхода и вычислительных методов позволяет повысить эффективность численных расчетов.

Эта идея была использована в последнее время многими авторами для задач со стационарными пограничными и внутренними слоями, например [1]–[10], где были предложены методы построения специальных сеток, учитывающих особенности решения. В случае движущихся внутренних слоев ряд разностных схем описан в работах [11]–[15], а также в работах [16] и [17], где были рассмотрены примеры периодических задач для сингулярно возмущенных параболических уравнений.

<sup>1)</sup>Работа выполнена при финансовой поддержке РНФ (проект № 18-11-00042).

В данной работе представлен эффективный аналитико-численный подход для исследования периодических по времени задач типа реакция–диффузия–адвекция, решения которых содержат движущиеся внутренние слои (движущиеся фронты). Предложен метод построения динамически адаптированной сетки, основанный на априорной информации о решении, полученной в результате строгого асимптотического анализа задачи, развитого в [18]. Указанный подход позволяет сэкономить вычислительные ресурсы и увеличить скорость построения решения с приемлемой точностью, что особенно важно, например, при решении обратных задач для сингулярно возмущенных уравнений. Оптимизация решения обратной задачи для уравнения реакция–диффузия–адвекция с использованием динамически адаптированной сетки реализована авторами в [19].

Численное исследование периодических по времени задач порождает ряд специфических особенностей. Одна из них заключается в том, что отсутствует информация о локализации внутреннего слоя в начальный момент времени. Для определения начальных условий, необходимых для дальнейших численных расчетов с динамически адаптированной сеткой, также используется асимптотический анализ задачи [18].

Альтернативным подходом к численному решению периодических задач может служить использование метода счета на установление. Однако в этом случае необходимо доказывать устойчивость решения и исследовать область влияния устойчивого решения для правильного выбора начального приближения. Проверка устойчивости и связанные с этим оценки также могут быть получены с использованием асимптотического анализа периодической задачи методами, разработанными в [18].

Заметим, что в примере, рассмотренном в разд. 4, вырожденное уравнение, а также задачи для определения локализации внутреннего слоя разрешимы в явном виде. В более общих случаях эти задачи также требуют численного решения. Также следует отметить, что в одном из подходов, представленных в данной работе, число узлов сетки вне области слоя растет при уменьшении параметра  $\varepsilon$ . Это не является необходимым требованием, но данный вариант выбора сетки имеет некоторые преимущества для численных расчетов в практических задачах с фиксированным  $\varepsilon$  ввиду более простой реализации процедуры выполнения апостериорных асимптотически точных оценок погрешности. В работе также представлен альтернативный подход с использованием  $\varepsilon$ -независимой сетки.

Статья имеет следующую структуру. В разд. 2 кратко описан асимптотический алгоритм, позволяющий получить априорную информацию, которая используется в дальнейшем для построения динамически адаптированной сетки. В разд. 3 кратко описаны основные идеи построения сетки. Наконец, в разд. 4 представлен численный эксперимент, обсуждаются его результаты и некоторые нюансы построения сетки в рассматриваемом примере.

## 2. АСИМПТОТИЧЕСКИЙ АНАЛИЗ

Основные идеи предлагаемого подхода продемонстрируем на примере следующей задачи:

$$\begin{aligned} \varepsilon \left( \frac{\partial^2 u}{\partial x^2} - \frac{\partial u}{\partial t} \right) &= A(u, x, t) \frac{\partial u}{\partial x} + B(u, x, t), \\ (x, t) \in D &:= \{x \in (-1, 1); \quad t \in \mathbb{R}\}, \\ u(-1, t) &= u_{\text{left}}(t), \quad u(1, t) = u_{\text{right}}(t), \quad t \in \mathbb{R}, \\ u(x, 0) &= u(x, t + T), \quad x \in [-1, 1], \quad t \in \mathbb{R}, \end{aligned} \tag{1}$$

где  $\varepsilon$  – малый параметр ( $0 < \varepsilon \ll 1$ ), а функции  $A(u, x, t)$ ,  $B(u, x, t)$ ,  $u_{\text{left}}(t)$  и  $u_{\text{right}}(t)$  – достаточно гладкие и  $T$ -периодические по переменной  $t$ .

Известно (см. [18]), что при определенных условиях сформулированная задача допускает решение вида движущегося фронта: на интервале  $(-1, 1)$  существует точка  $x_r(t, \varepsilon)$ , движущаяся по периодическому во времени закону, в окрестности которой наблюдается узкий внутренний переходный слой. А именно, слева от указанной точки (при  $-1 < x < x_r(t, \varepsilon)$ ) решение близко к некоторому уровню  $\phi^l(x, t)$ , а справа (при  $x_r(t, \varepsilon) < x < 1$ ) – к уровню  $\phi^r(x, t) \neq \phi^l(x, t)$  для всех  $t$ . Основной целью настоящей работы является развитие метода построения динамически адаптированной сетки для эффективного численного решения задач подобного типа с использованием априорной информации о локализации, ширине и структуре движущегося фронта, полученной

путем строгого асимптотического анализа задачи (1), выполненного в работе [18]. Ниже мы кратко опишем основные идеи получения асимптотического приближения решения задачи (1) и используем ряд результатов и формул из [18].

Следуя [18], сформулируем основные условия.

Положив  $\varepsilon = 0$  в (1), получаем вырожденное уравнение

$$A(u, x, t) \frac{du}{dx} + B(u, x, t) = 0, \quad (2)$$

где  $t$  играет роль параметра. Определим в области  $D := \{x \in (-1, 1), t \in \mathbb{R}\}$  две функции  $\varphi^l(x, t)$  и  $\varphi^r(x, t)$  как решения следующих задач:

$$\begin{aligned} \varphi^l(x, t): \quad & A(u, x, t) \frac{du}{dx} + B(u, x, t) = 0, \quad u(-1, t) = u_{\text{left}}(t), \\ \varphi^r(x, t): \quad & A(u, x, t) \frac{du}{dx} + B(u, x, t) = 0, \quad u(1, t) = u_{\text{right}}(t). \end{aligned} \quad (3)$$

**Условие 1.** Пусть для всех  $(x, t) \in \bar{D}$  существуют  $T$ -периодические по переменной  $t$  решения  $\varphi^l(x, t)$  и  $\varphi^r(x, t)$  задач (3), причем для всех  $(x, t) \in \bar{D}$  выполнены неравенства

$$\begin{aligned} \text{а)} \quad & \varphi^l(x, t) < \varphi^r(x, t), \\ \text{б)} \quad & A(\varphi^l(x, t), x) > 0, \quad A(\varphi^r(x, t), x) < 0. \end{aligned} \quad (4)$$

Определим следующую функцию в виде

$$I(x, t) := \int_{\varphi^l(x, t)}^{\varphi^r(x, t)} A(u, x, t) du. \quad (5)$$

**Условие 2.** Пусть уравнение

$$I(x, t) = 0 \quad (6)$$

имеет  $T$ -периодическое решение  $x_0(t)$ , причем для всех  $t \in \mathbb{R}$  имеем

$$\begin{aligned} \text{а)} \quad & -1 < x_0(t) < 1, \\ \text{б)} \quad & \int_{\varphi^l(x_0(t), t)}^s A(u, x_0(t), t) du > 0 \quad \text{при} \quad s \in (\varphi^l(x_0(t), t), \varphi^r(x_0(t), t)). \end{aligned} \quad (7)$$

**Условие 3.** Пусть на решении  $x_0(t)$  уравнения (6) выполнено неравенство

$$\frac{\partial I}{\partial x}(x_0(t), t) < 0 \quad \text{при всех} \quad t \in \mathbb{R}. \quad (8)$$

Положение переходного слоя (фронта) будем описывать функцией  $x_r(t, \varepsilon)$ , которую представим в виде ряда по параметру  $\varepsilon$

$$x_r(t, \varepsilon) = x_0(t) + \varepsilon x_1(t) + \varepsilon^2 x_2(t) + \dots, \quad (9)$$

где  $x_i(t)$ ,  $i = 1, 2, \dots$ , суть  $T$ -периодические функции, определяемые в процессе построения асимптотического приближения.

В дальнейшем использованы следующие обозначения:

$$\begin{aligned} D^\varepsilon &:= \{x \in [-1, x_r(t, \varepsilon)], t \in \mathbb{R}\}, \\ \bar{D}^\varepsilon &:= \{x \in [x_r(t, \varepsilon), 1], t \in \mathbb{R}\}, \\ \varphi(x, t) &:= \frac{1}{2}(\varphi^l(x, t) + \varphi^r(x, t)), \\ \xi &:= \frac{x - x_r(t, \varepsilon)}{\varepsilon}. \end{aligned}$$

Асимптотика решения задачи (1) в областях  $\bar{D}^l$  и  $\bar{D}^r$  строится в виде

$$U^{l,r}(x, t, \varepsilon) = \bar{u}^{l,r}(x, t, \varepsilon) + Q^{l,r}(\xi, t, \varepsilon) = \sum_{i=0}^{\infty} \varepsilon^i \left( \bar{u}^{l,r}(x, t) + Q_i^{l,r}(\xi, t) \right). \quad (10)$$

Здесь  $\bar{u}^{l,r}(x, t, \varepsilon)$  – регулярные функции, описывающие решение вдали от точки перехода  $x_{lr}(t, \varepsilon)$  в областях  $\bar{D}^l$  и  $\bar{D}^r$ ; функции  $Q^{l,r}(\xi, t, \varepsilon)$  описывают переходный слой (движущийся фронт) и существенны вблизи точки  $x_{lr}(t, \varepsilon)$ ;  $\xi = (x - x_{lr}(t, \varepsilon))/\varepsilon$ , причем  $\xi \leq 0$  для функций с индексом  $l$  и  $\xi \geq 0$  для функций с индексом  $r$ .

Решения  $U^l(x, t, \varepsilon)$  и  $U^r(x, t, \varepsilon)$  в областях  $\bar{D}^l$  и  $\bar{D}^r$  гладко сшиваются в точке  $x_{lr}(t, \varepsilon)$ , и члены ряда (10) определяются путем применения асимптотической процедуры, описанной в [18].

Функции  $\bar{u}_0^l(x, t) = \varphi^l(x, t)$  и  $\bar{u}_0^r(x, t) = \varphi^r(x, t)$  суть решения вырожденного уравнения (2) при  $x \in [-1, x_{lr}(t, \varepsilon))$  и  $x \in (x_{lr}(t, \varepsilon), 1]$  соответственно. Далее,  $\bar{u}_k^{l,r}(x, t)$ ,  $k \geq 1$ , находятся из линейных уравнений [18] и при каждом  $k$  могут быть получены в явном виде.

Главный член асимптотики внутреннего переходного слоя (движущегося фронта) определяется из задачи

$$\begin{aligned} \frac{\partial^2 \tilde{Q}}{\partial \xi^2} - (A(\tilde{Q}, x_{lr}(t, \varepsilon), t)) \frac{\partial \tilde{Q}}{\partial \xi} &= 0, \quad \xi \in (-\infty, +\infty), \quad t \in \mathbb{R}, \\ \tilde{Q}(0, x_{lr}(t, \varepsilon)) &= \varphi(x_{lr}(t, \varepsilon), t), \\ \tilde{Q}(-\infty, x_{lr}(t, \varepsilon)) &= \varphi^l(x_{lr}(t, \varepsilon), t), \\ \tilde{Q}(+\infty, x_{lr}(t, \varepsilon)) &= \varphi^r(x_{lr}(t, \varepsilon), t), \end{aligned} \quad (11)$$

где

$$\tilde{Q}(\xi, x_{lr}(t, \varepsilon)) = \begin{cases} \varphi^l(x_{lr}(t, \varepsilon), t) + Q_0^l(\xi, t) & \text{при } \xi \leq 0, \\ \varphi^r(x_{lr}(t, \varepsilon), t) + Q_0^r(\xi, t) & \text{при } \xi \geq 0. \end{cases} \quad (12)$$

Требование условия 1 обеспечивает существование единственного решения задачи (11). Кроме того, имеют место экспоненциальные оценки

$$\left| \tilde{Q}(\xi, t) - \varphi^{l,r}(x_{lr}(t, \varepsilon), t) \right| \leq C e^{-\kappa|\xi|} \quad \text{при } \xi \rightarrow \pm\infty, \quad t \in \mathbb{R}, \quad (13)$$

где  $C$  и  $\kappa$  – положительные константы.

Функции  $Q_k^{l,r}(\xi, t)$ ,  $k = 1, 2, 3, \dots$ , определяются из линейных задач, могут быть выписаны в явном виде и удовлетворяют экспоненциальным оценкам

$$\left| Q_k^{l,r}(\xi, t) \right| \leq C e^{-\kappa|\xi|} \quad \text{при } \xi \rightarrow \pm\infty, \quad t \in \mathbb{R}, \quad (14)$$

где  $C$  и  $\kappa$  – положительные константы.

Уравнение для определения нулевого приближения  $x_0(t)$  положения движущегося фронта имеет вид

$$\int_{\varphi^l(x_0(t), t)}^{\varphi^r(x_0(t), t)} A(u, x_0(t), t) du \equiv I(x_0(t), t) = 0. \quad (15)$$

Требование условия 2 гарантирует существование  $T$ -периодического решения  $x_0(t) \in (-1; 1)$  задачи (15).

Для  $x_1(t)$  и  $x_k(t)$ ,  $k = 2, 3, \dots$  – следующих членов ряда (9), описывающего положение движущегося фронта, – получаются линейные уравнения

$$x_k(t) I_x(x_0(t), t) = \Phi_k(t), \quad (16)$$

где  $\Phi_k(t)$  – известные достаточно гладкие  $T$ -периодические функции. В частности, явное выражение для  $\Phi_1(t)$  приведено в [18]. Условие 3 обеспечивает существование  $T$ -периодических решений  $x_k(t)$  задач (16) для всех  $k = 1, 2, 3, \dots$ .

Основной результат асимптотического анализа задачи (1) содержится в следующей теореме из [18].

**Теорема 1.** Пусть выполнены условия 1–3. Тогда при достаточно малых  $\varepsilon$  существует  $T$ -периодическое по переменной  $t$  решение  $u(x, t, \varepsilon)$  задачи (1) с внутренним переходным слоем, локализованным в окрестности точки  $x_0(t)$ , а именно

$$\lim_{\varepsilon \rightarrow 0} u(x, t, \varepsilon) = \begin{cases} \varphi^l(x, t) & \text{при } x \in [-1; x_0(t)), \quad t \in \mathbb{R}, \\ \varphi^r(x, t) & \text{при } x \in (x_0(t); 1], \quad t \in \mathbb{R}, \end{cases}$$

причем

$$|u(x, t, \varepsilon) - U_n(x, t, \varepsilon)| \leq C\varepsilon^n, \quad (x, t) \in \bar{D},$$

где положительная постоянная  $C$  не зависит от  $\varepsilon$ , а

$$U_n(x, t, \varepsilon) = \begin{cases} U_n^l(x, t, \varepsilon) & \text{при } -1 \leq x \leq \sum_{i=0}^{n+1} \varepsilon^i x_i(t), \quad t \in \mathbb{R}, \\ U_n^r(x, t, \varepsilon) & \text{при } \sum_{i=0}^{n+1} \varepsilon^i x_i(t) \leq x \leq 1, \quad t \in \mathbb{R}. \end{cases} \quad (17)$$

В формуле (17) функции  $U_n^{l,r}(x, t, \varepsilon)$  – частичные суммы ряда (10), где  $\xi$  заменено на

$$\xi_{n+1} = \frac{x - \sum_{i=0}^{n+1} \varepsilon^i x_i(t)}{\varepsilon}.$$

Подводя итог, сформулируем основные результаты асимптотического анализа задачи (1), которые будут использованы в дальнейшем при построении динамически адаптированной сетки для численного решения.

Положение и скорость движения фронта. Два главных члена асимптотики по  $\varepsilon$  локализации фронта  $x_0(t) + \varepsilon x_1(t)$  определены в (15) и (16) (скорость движения фронта есть производная этих функций).

Оценка ширины переходного слоя может быть получена из (13) и (14). Ввиду экспоненциального характера примыкания функций, описывающих переходный слой, к уровням  $\varphi^{r,l}(x, t)$  при  $\xi \rightarrow \pm\infty$ , в качестве оценки ширины слоя можно использовать

$$d = C |\varepsilon \ln \varepsilon|. \quad (18)$$

Ширина области, где должно быть произведено сгущение сетки, зависит также от параметра  $\kappa$  из (13). При заданных функциях  $A(u, x, t)$  и  $B(u, x, t)$  и граничных условиях  $u_{\text{left}}(t)$ ,  $u_{\text{right}}(t)$  этот параметр может быть оценен. Для примера, который рассмотрен ниже в разд. 4 статьи, можно получить, что  $\kappa > 1$ .

Структура внутреннего переходного слоя определяется видом решения задачи (11) и оценками (13), (14).

В разд. 4 предлагаемый подход построения динамически адаптированной сетки проиллюстрирован на конкретном примере задачи типа (1) с  $A(u, x, t) = -u$  и  $B(u, x, t) = u \times b(t)$ , где  $b(t) = 2 + \cos(4\pi t)$ :

$$\begin{aligned} \varepsilon \left( \frac{\partial^2 u}{\partial x^2} - \frac{\partial u}{\partial t} \right) &= -u \frac{\partial u}{\partial x} + ub(t), \quad x \in (-1; 1), \quad t \in \mathbb{R}, \\ u(-1, t) &= u_{\text{left}}(t) \equiv -8 + \sin(4\pi t), \\ u(1, t) &= u_{\text{right}}(t) \equiv 8 - 2 \sin(4\pi t). \end{aligned}$$

Для данного примера из (3) получим

$$\varphi^l(x, t) = -8 + \sin(4\pi t) + (x + 1)(2 + \cos(4\pi t)), \quad (19)$$

$$\varphi^r(x, t) = 8 - 2 \sin(4\pi t) + (x - 1)(2 + \cos(4\pi t)). \quad (20)$$

Условие 1 выполнено, так как для всех  $x \in [-1, 1]$  имеет место

а)  $\varphi^l(x, t) - \varphi^r(x, t) = -16 + 2(2 + \cos(4\pi t)) + 3 \sin(4\pi t) < 0;$

б)  $A(\varphi^l(x, t), x, t) = 8 - (x + 1)(2 + \cos(4\pi t)) - \sin(4\pi t) > 0,$

$A(\varphi^r(x, t), x, t) = -8 - (x - 1)(2 + \cos(4\pi t)) + 2 \sin(4\pi t) < 0.$

Функция  $I(x, t)$ , определенная в (5), имеет вид

$$\begin{aligned} I(x, t) &= \int_{\varphi^l(x, t)}^{\varphi^r(x, t)} -u du = \frac{1}{2}(\varphi^l(x, t) - \varphi^r(x, t))(\varphi^l(x, t) + \varphi^r(x, t)) = \\ &= \frac{1}{2}(2x(2 + \cos(4\pi t)) - \sin(4\pi t))(-16 + 2(2 + \cos(4\pi t)) + 3 \sin(4\pi t)), \end{aligned}$$

и решение уравнения (15), определяющего главный член асимптотики положения фронта, есть

$$x_0(t) = \frac{\sin(4\pi t)}{4 + 2 \cos(4\pi t)} \in [-1; 1] \quad \text{при} \quad t \in \mathbb{R}. \quad (21)$$

Нетрудно проверить, что условия 2 и 3 для  $x_0(t)$  выполнены.

В следующем приближении из уравнения (16) с учетом явного выражения для  $\Phi_1(t)$  из [18] получаем

$$x_1(t) = -\frac{1}{2b(t)} \left[ 2x_0'(t) + (\bar{u}_1^l(x_0(t), t) + \bar{u}_1^r(x_0(t), t)) \right], \quad (22)$$

где

$$\bar{u}_1^l(x, t) = \frac{d}{dt} \left[ \frac{u_{\text{left}}(t)}{b(t)} \right] \ln \left( 1 + \frac{b(t)}{u_{\text{left}}(t)} (x + 1) \right) + \frac{d}{dt} [\ln(b(t))] (x + 1)$$

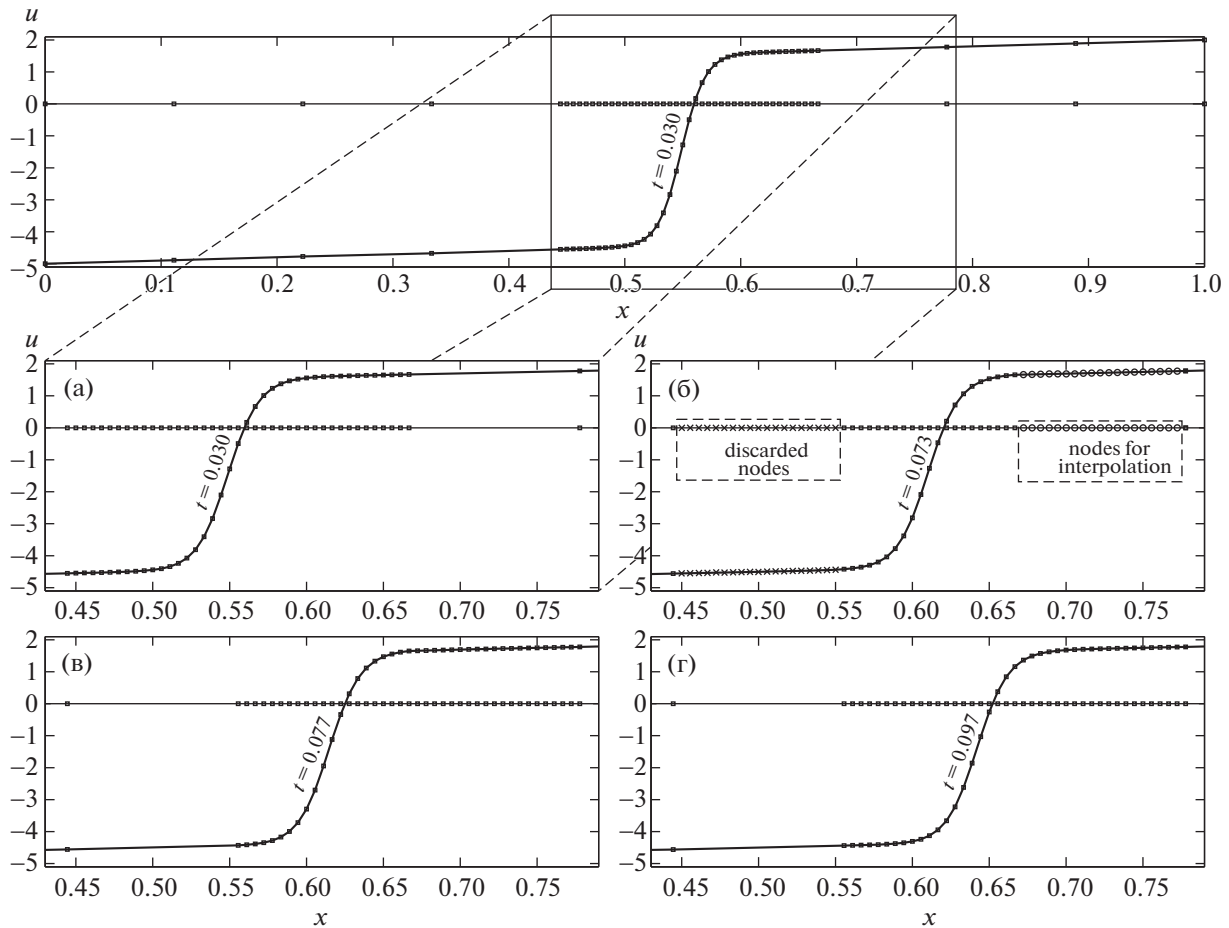
и

$$\bar{u}_1^r(x, t) = \frac{d}{dt} \left[ \frac{u_{\text{right}}(t)}{b(t)} \right] \ln \left( 1 + \frac{b(t)}{u_{\text{right}}(t)} (x - 1) \right) + \frac{d}{dt} [\ln(b(t))] (x - 1).$$

### 3. ПОСТРОЕНИЕ ДИНАМИЧЕСКИ АДАПТИРОВАННОЙ СЕТКИ

В этом разделе описан алгоритм построения динамически адаптированной сетки, область сгущения которой определяется на основе априорной информации о параметрах движущегося фронта. Важнейшим условием реализации предлагаемого алгоритма является возможность получения соответствующей априорной информации (положение, скорость, ширина переходного слоя), выполнение которого было продемонстрировано выше на основе строгого асимптотического анализа, проведенного в [18].

Сформулируем основные этапы предлагаемого подхода. Вначале строится равномерная сетка  $T_M$  только по переменной  $t$  с числом узлов  $M + 1$  (что эквивалентно  $M$  интервалам сетки):  $T_M = \left\{ t_m, 0 \leq m \leq M: t_m = 0 + \frac{T-0}{M}(m-1) \right\}$ . Также возможно использование квазиравномерных сеток, описанных в [21], без каких-либо изменений в дальнейшем алгоритме. Заметим, что выбор правильного шага по времени  $\tau = (T - 0)/M$  в случае равномерной сетки очень важен. В процессе построения динамически адаптированной сетки возможно возникновение ситуации, когда область локального сгущения сетки на очередном временном слое не имеет пересечения (или данное пересечение слишком мало) с областью локального сгущения на предыдущем слое по



Фиг. 1. Динамически адаптированная сетка.

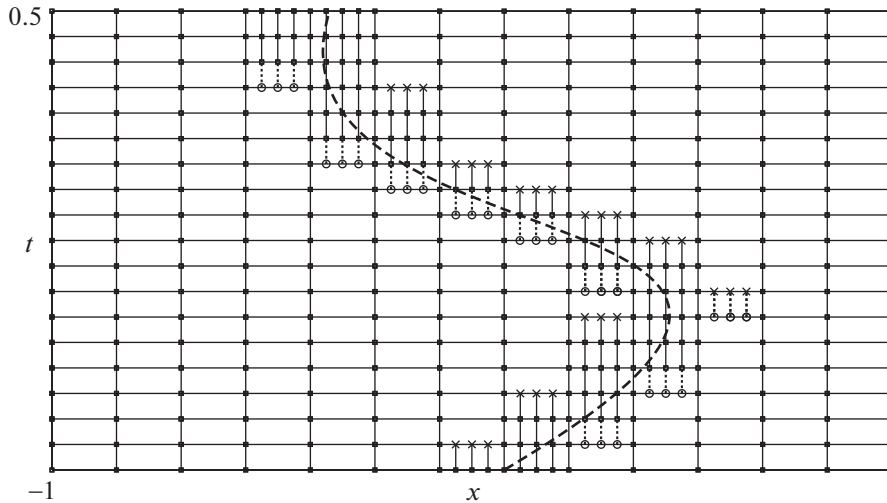
времени. Во избежание указанной проблемы при переходе на новый слой нужно проверять условие на максимальный шаг по времени  $\tau$ , а именно, фронт не должен покидать текущую область локального сгущения сетки в пределах одного шага по времени:

$$\tau \leq \max_{t \in [0, T]} |x'_r(t_i)| \leq C |\varepsilon \ln \varepsilon|. \quad (23)$$

Таким образом,  $\tau = O(|\varepsilon \ln \varepsilon|)$  или  $M = O(|\varepsilon \ln \varepsilon|^{-1})$ , что означает, что сетка будет являться  $\varepsilon$ -зависимой по пространственной переменной.

Идея построения динамически адаптированной сетки по переменной  $x$  заключается в следующем. Зная оценку ширины переходного слоя, вводим базовую равномерную сетку по переменной  $x$  с интервалами, величина каждого и которых равна ширине переходного слоя. Затем сгущаем сетку в пределах двух ближайших к точке перехода базовых интервала (см. фиг. 1а). Далее, положение переходного слоя известно, для каждого шага по времени проверяем, находится ли фронт в пределах этих интервалов или нет. Если фронт начинает покидать один из этих интервалов, сгущаем сетку в пределах следующего или предыдущего базового интервала и выполняем интерполяцию функции в добавленных узлах (см. фиг. 1б). Для соответствующей интерполяции используется информация о структуре переходного слоя. В дальнейших расчетах узлы сгущенного интервала, наиболее удаленного от текущего положения точки перехода, исключаются из последующих вычислений. В результате выполнения описанной процедуры мы снова имеем сгущенную сетку только в пределах двух базовых интервалов (см. фиг. 1в, г).

Далее, уточним некоторые детали процесса построения динамически адаптированной сетки  $X_N T_m \equiv X_N(t_m)$ ,  $0 \leq m \leq M$ , для слоя  $m$  сетки  $T_M$ .



**Фиг. 2.** Построение динамически адаптированной сетки: □ – узлы, используемые при вычислениях; ○ – узлы, в которых производится интерполяция; × – узлы, исключенные из рассмотрения на последующих шагах.

1. Вначале вводится базовая равномерная сетка  $X_{N_0}^{(0)}$  по переменной  $x$  с шагом  $h_0 = (1 - (-1))/N_0$  и  $N_0 + 1$  узлами (т.е.  $N_0$  интервалами):  $X_{N_0}^{(0)} = \{x_n^{(0)}, 0 \leq n \leq N_0; x_n^{(0)} = 0 + nh_0\}$ . Число узлов  $N_0$  выбирается на основе априорной информации о ширине переходного слоя и может быть получено с использованием оценки (18):

$$N_0 = \left\lceil \frac{1 - (-1)}{|\varepsilon \ln \varepsilon|} \right\rceil.$$

2. Затем строится семейство кусочно-равномерных сеток  $\{X_{N_0, N_{\text{int}}}^{n, n+1}\}$ ,  $0 \leq n \leq N_0 - 2$ , где  $(n + 1)$ -й и  $(n + 2)$ -й интервалы базовой сетки дополнительно разбиты на  $N_{\text{int}}$  интервалов. Таким образом, суммарное число интервалов теперь равно  $N = N_0 - 2 + 2N_{\text{int}}$ :

$$\begin{aligned} X_{N_0, N_{\text{int}}}^{n, n+1} &= \left\{ x_m, 0 \leq m \leq N_0 - 2 + 2N_{\text{int}}, 0 \leq n \leq N_0 : 0 = x_0 = x_0^{(0)} < x_1 = x_1^{(0)} < \dots < x_n = \right. \\ &= x_n^{(0)} < x_{n+1} = x_n^{(0)} + 1 \frac{x_{n+1}^{(0)} - x_n^{(0)}}{N_{\text{int}}} < x_{n+2} = x_n^{(0)} + 2 \frac{x_{n+1}^{(0)} - x_n^{(0)}}{N_{\text{int}}} < \dots < x_{n+N_{\text{int}}-1} = \\ &= x_n^{(0)} + (N_{\text{int}} - 1) \frac{x_{n+1}^{(0)} - x_n^{(0)}}{N_{\text{int}}} \ll x_{n+N_{\text{int}}} = x_{n+1}^{(0)} < x_{n+N_{\text{int}}+1} = x_{n+1}^{(0)} + 1 \frac{x_{n+2}^{(0)} - x_{n+1}^{(0)}}{N_{\text{int}}} < \dots \\ &\dots < x_{n+N_{\text{int}}+N_{\text{int}}-1} = x_{n+1}^{(0)} + (N_{\text{int}} - 1) \frac{x_{n+2}^{(0)} - x_{n+1}^{(0)}}{N_{\text{int}}} < x_{n+N_{\text{int}}+N_{\text{int}}} = x_{n+2}^{(0)} < \\ &< x_{n+2N_{\text{int}}+1} = x_{n+3}^{(0)} < \dots < x_{N_0-3+2N_{\text{int}}} = x_{N_0-1}^{(0)} < x_{N_0-2+2N_{\text{int}}} = x_{N_0}^{(0)} = 1 \left. \right\}. \end{aligned}$$

Заметим, что для выполнения апостериорных асимптотически точных оценок погрешностей удобно, чтобы базовая сетка  $X_{N_0}^{(0)}$  была равномерной. В этом случае для оценки погрешности достаточно использовать только те узлы базовой сетки, которые совпадают на каждой сетке семейства  $\{X_{N_0, N_{\text{int}}}^{n, n+1}\}$ .

3. Используя формулы (21) и (22) (или, в общем случае, уравнения (15) и (16)), получаем оценку положения точки перехода

$$x_{lr}(t, \varepsilon) = x_0(t) + \varepsilon x_1(t) + O(\varepsilon^2). \quad (24)$$

Важно, что в соответствии с результатом теоремы 1, для аппроксимации решения с точностью  $O(\varepsilon)$ , необходимо использовать два первых слагаемых ряда (22) для  $x_{lr}(t, \varepsilon)$ , описывающего положение движущегося фронта. В противном случае положение точки перехода может быть потеряно в процессе численных расчетов.

Имея оценку локализации фронта, фиксируем интервал базовой сетки, который содержит точку  $x_{lr}(t_0, \varepsilon)$ . Не ограничивая общности, можно считать, что  $x_{lr}(t_0, \varepsilon)$  находится на  $n$ -м интервале  $[x_{n-1}^{(0)}, x_n^{(0)})$  сетки  $X_{N_0}^{(0)}$ . Если  $x_{lr}(t_0, \varepsilon) \geq (x_{n-1}^{(0)} + x_n^{(0)})/2$ , то используем сетку  $X_N(t_0) = X_{N_0, N_{\text{int}}}^{n-1, n}$  и полагаем  $n := n + 1$ ; в противном случае  $X_N(t_0) = X_{N_0, N_{\text{int}}}^{n-2, n-1}$  и  $n := n$ . Считаем, что  $m = 0$ .

4. Далее, положим  $m := m + 1$ . Если  $(x_{n-2}^{(0)} + x_{n-1}^{(0)})/2 \leq x_{lr}(t_m, \varepsilon) < (x_{n-1}^{(0)} + x_n^{(0)})/2$ , то используем сетку  $X_N(t_m) = X_N(t_{m-1})$ . Если  $x_{lr}(t_m, \varepsilon) > (x_{n-1}^{(0)} + x_n^{(0)})/2$ , то для дальнейших вычислений используем сетку  $X_N(t_m) = X_{N_0, N_{\text{int}}}^{n-1, n}$ . В этом случае мы исключаем из процесса значения сеточной функции  $\mathbf{u}(t_{m-1})$  на  $(n-1)$ -м интервале базовой сетки  $X_{N_0}^{(0)}$  и интерполируем ее на сгущенный  $(n+1)$ -й интервал базовой сетки. Для правильной интерполяции используется априорная информация (см. (13)) об экспоненциальном характере стремления интерполируемой функции к уровням  $\varphi^r(x, t)$  и  $\varphi^l(x, t)$ . В случае  $x_{lr}(t_m, \varepsilon) < (x_{n-2}^{(0)} + x_{n-1}^{(0)})/2$  для дальнейших вычислений используется сетка  $X_N(t_m) = X_{N_0, N_{\text{int}}}^{n-3, n-2}$ . Из процесса исключаются значения сеточной функции  $\mathbf{u}(t_{m-1})$  на  $n$ -м интервале базовой сетки  $X_{N_0}^{(0)}$  и аналогичным образом производится интерполяция на сгущенный  $(n-2)$ -й базовый интервал. Затем полагаем  $n := n + 1$ .

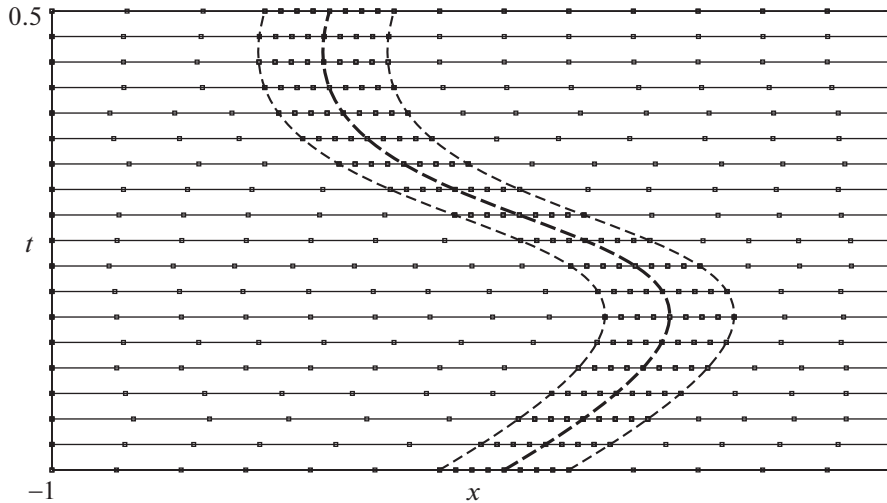
Как было отмечено выше, для интерполяции используется априорная информация (13) об экспоненциальном характере стремления интерполируемой функции к уровням  $\varphi^r(x, t)$  и  $\varphi^l(x, t)$ . Записав этот факт в виде формулы  $|\varphi^r(x) - y| = ae^{bx}$  ( $|\varphi^l(x) - y| = ae^{-bx}$ ) (или в эквивалентном виде  $\log a + bx = \log |\varphi^r(x) - y|$ ) для пары интерполируемых точек  $(x, y)$ , можно получить коэффициенты  $a$  и  $b$  интерполирующей функции  $f(x) = \varphi^r(x) + ae^{bx}$  и  $f(x) = \varphi^l(x) + ae^{-bx}$ .

5. Если  $m = M$ , то процесс завершается. В противном случае, переходим к п. 4.

### 3.1. Динамически адаптированная $\varepsilon$ -независимая сетка

Заметим, что динамически адаптированная сетка, процесс построения которой описан выше, является  $\varepsilon$ -зависимой по переменной  $x$ , т.е. число узлов сетки растет, если  $\varepsilon$  стремится к нулю. Однако этот выбор сетки имеет ряд преимуществ для численных расчетов в практических задачах с фиксированным  $\varepsilon$ . Во-первых, используя асимптотическую информацию о положении фронта, мы уточняем только два интервала базовой сетки, что в любом случае обеспечивает более экономичные численные расчеты по сравнению с равномерной сеткой. Во-вторых, узлы базовой грубой сетки фиксированы, следовательно, базовая сетка такого типа позволяет упростить процедуру интерполяции для вновь вводимых узлов нестационарной сгущенной сетки: не нужно вычислять значения сеточной функции во всех узлах, а необходимо лишь выполнить интерполяцию в двух вновь вводимых сгущенных интервалах сетки. Это дает возможность также упростить процедуру апостериорного контроля точности с помощью экстраполяции Ричардсона, выполненной только на базовой сетке.

Теперь рассмотрим другой подход к построению динамически адаптированной сетки,  $\varepsilon$ -независимой по пространственной переменной  $x$ . Эта сетка в каждый момент времени имеет одинаковое (или пропорциональное) количество узлов внутри и вне области локализации внутреннего слоя, причем их число не зависит от малого параметра  $\varepsilon$ .



Фиг. 3. Пример построения  $\epsilon$ -независимой динамически адаптированной сетки  $XT_M$ .

Для каждого временного слоя  $t$  сетки  $T_M$  вводим кусочно-равномерную сетку  $XT_m$  по переменной  $x$ , с равномерным сгущением в  $\epsilon \ln \epsilon$ -окрестности точки перехода  $x_{tr}(t_m)$ :

$$XT_m = \{x_n, 0 \leq n \leq N + KN : x_n = 0 \text{ для } n = 0, x_n = x_{n-1} + h_{\text{left}} \text{ для } n = \overline{1, N_{\text{left}}}, \\ x_n = x_{n-1} + h_{\text{int}} \text{ для } n = \overline{N_{\text{left}} + 1, N_{\text{left}} + KN}, \\ x_n = x_{n-1} + h_{\text{right}} \text{ для } n = \overline{N_{\text{left}} + K_{\text{int}}N + 1, N + KN}\},$$

где  $N$  – управляющий параметр, который определяет число интервалов внутри области переходного слоя. При этом интервалы вне области фронта нормируются так, что  $h_{\text{left}} \cong h_{\text{right}}$ :

$$N_{\text{left}} = \left\lceil \frac{(x_{tr}(t_m) - C|\ln \epsilon|) - (-1)}{1 - (-1) - 2C|\epsilon \ln \epsilon|} N \right\rceil, \quad N_{\text{right}} = N - N_{\text{left}}, \\ h_{\text{left}} = \frac{(x_{tr}(t_m) - C|\epsilon \ln \epsilon|) - (-1)}{N_{\text{left}}}, \quad h_{\text{right}} = \frac{1 - (x_{tr}(t_m) + C|\epsilon \ln \epsilon|)}{N_{\text{right}}}, \quad h_{\text{int}} = \frac{2C|\epsilon \ln \epsilon|}{K_{\text{int}}N}.$$

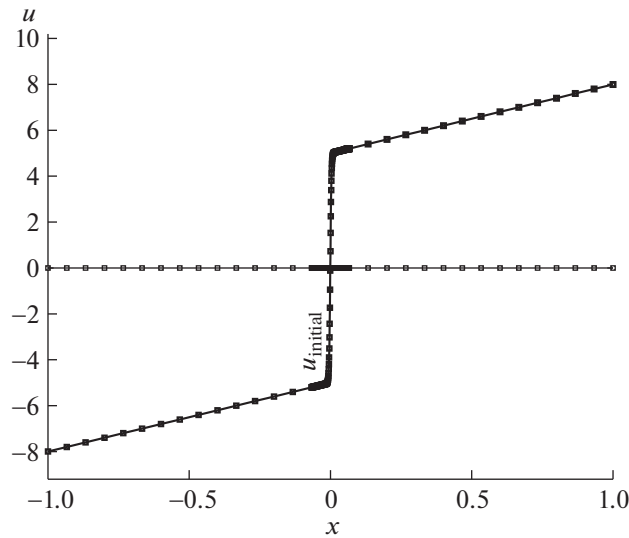
Здесь  $C$  – управляющий параметр, позволяющий регулировать ширину области сгущения (по умолчанию  $C = 1$ );  $K$  – управляющий параметр, задающий относительную плотность сгущения в области внутреннего переходного слоя (по умолчанию  $K = 1$ ).

В результате получаем динамически адаптированную сетку  $XT_M$  (см. фиг. 3), которая на каждом слое по времени  $T_m$  имеет фиксированное число интервалов  $N + KN$ .

#### 4. ЧИСЛЕННЫЙ ЭКСПЕРИМЕНТ

В данном разделе предложенный метод проиллюстрирован на примере уравнения Бюргерса с периодическими коэффициентами

$$\epsilon \left( \frac{\partial^2 u}{\partial x^2} - \frac{\partial u}{\partial t} \right) + u \frac{\partial u}{\partial x} - b(t)u = 0, \quad x \in (-1, 1), \quad t \in (0, 1.5], \\ u(-1, t) = u_{\text{left}}(t), \quad u(1, t) = u_{\text{right}}(t), \quad t \in (0, 1.5], \\ u(x, 0) = u_{\text{init}}(x), \quad x \in [-1, 1], \tag{25}$$



Фиг. 4. Пример начального условия  $u_{\text{init}}(x)$  для  $\varepsilon = 10^{-2}$  (в окрестности переходного слоя выполнено сгущение сетки).

где

$$\begin{aligned} u_{\text{left}}(t) &= -8 + \sin(4\pi t), \\ u_{\text{right}}(t) &= 8 - 2\sin(4\pi t), \\ b(t) &= 2 + \cos(4\pi t). \end{aligned} \quad (26)$$

Как было показано в конце разд. 2, все условия применимости процедуры асимптотического анализа [18] для данного примера выполнены.

Зададим начальное условие  $u_{\text{init}}(x)$  как решение стационарной задачи (см. фиг. 4):

$$\begin{aligned} \varepsilon \frac{\partial^2 g}{\partial x^2} + g \frac{\partial g}{\partial x} - b(0)g &= 0, \quad x \in (-1, 1), \\ g(-1) &= u_{\text{left}}(0), \quad g(1) = u_{\text{right}}(0). \end{aligned}$$

Для численного решения уравнения (25) применяется жесткий метод прямых (SMOL), т.е. уравнение в частных производных сводится к системе обыкновенных дифференциальных уравнений, которая может быть решена по схеме Розенброка с комплексными коэффициентами [20]:

$$\begin{aligned} \frac{du_n}{dt} &= \frac{2}{x_{n+1} - x_{n-1}} \left( \frac{u_{n+1} - u_n}{x_{n+1} - x_n} - \frac{u_n - u_{n-1}}{x_n - x_{n-1}} \right) + \frac{1}{\varepsilon} u_n \frac{u_{n+1} - u_{n-1}}{x_{n+1} - x_{n-1}} - \frac{1}{\varepsilon} b(t)u_n, \quad n = \overline{1, N-1}, \\ u_0 &= u_{\text{left}}(t), \quad u_N = u_{\text{right}}(t), \quad t \in (0, 1.5], \\ u(x_n, 0) &= u_{\text{init}}(x_n), \quad n = \overline{0, N}. \end{aligned}$$

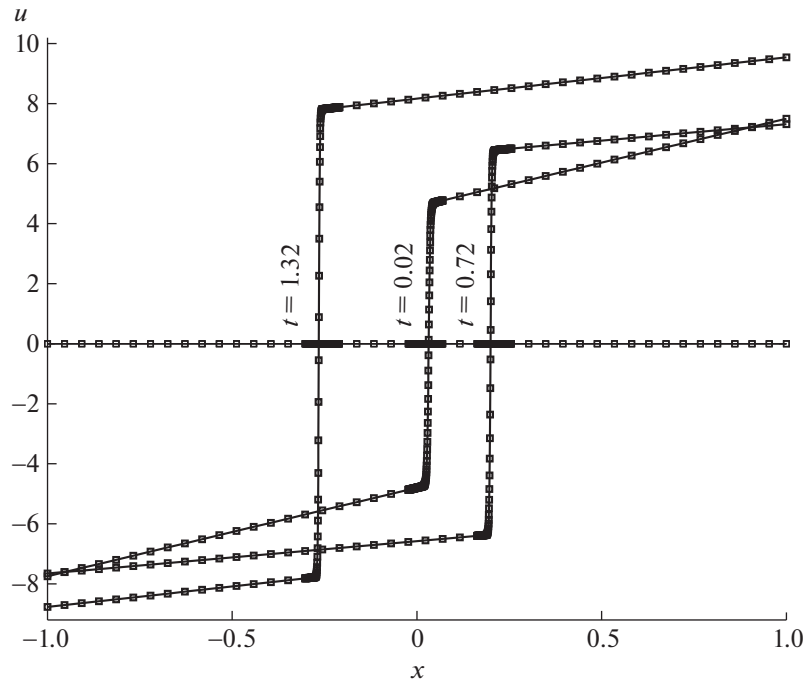
Данная система может быть переписана в виде

$$\begin{aligned} \frac{d\mathbf{u}}{dt} &= \mathbf{f}(\mathbf{u}, t), \quad t \in (0, 1.5], \\ \mathbf{u}(0) &= \mathbf{u}_{\text{init}}, \end{aligned} \quad (27)$$

где  $\mathbf{u} = (u_1, u_2, u_3, \dots, u_{N-1})^T$ ,  $\mathbf{f} = (f_1, f_2, f_3, \dots, f_{N-1})^T$  and  $\mathbf{u}_{\text{init}} = (u_{\text{init}}(x_1), u_{\text{init}}(x_2), u_{\text{init}}(x_3), \dots, u_{\text{init}}(x_{N-1}))^T$ .

Численное решение системы (27) строится по схеме Розенброка с комплексным коэффициентом (CROS1), которая является монотонной, устойчивой и обеспечивает порядок точности  $O(\tau^2)$  [20]:

$$\mathbf{u}(t_{m+1}) = \mathbf{u}(t_m) + (t_{m+1} - t_m) \text{Re } \mathbf{w}, \quad (28)$$



**Фиг. 5.** Пример численного расчета для  $\varepsilon = 10^{-2}$ . Параметр  $N_0 = 43$  (вычисляется автоматически),  $N_{\text{int}} = 100$  (управляющий параметр, выбираемый вручную).

где  $\mathbf{w}$  – решение системы линейных алгебраических уравнений

$$\left[ E - \frac{1+i}{2}(t_{m+1} - t_m) \mathbf{f}_{\mathbf{u}}(\mathbf{u}(t_m), t) \right] \mathbf{w} = \mathbf{f} \left( \mathbf{u}(t_m), \frac{t_m + t_{m+1}}{2} \right),$$

$E$  – единичная матрица, а  $\mathbf{f}_{\mathbf{u}}$  – матрица Якоби.

В численной схеме (28) используются значения сеточной функции  $\mathbf{u}(t_m)$ , вычисленные на сетке  $XT_m$ . После применения схемы (28) необходимо интерполировать сеточную функцию  $\mathbf{u}(t_{m+1})$  на сетку  $XT_{m+1}$ . Заметим, что процедуры указанной интерполяции различны для разных подходов построения динамически адаптированной сетки, предложенных выше: в первом случае ( $\varepsilon$ -зависимая сетка) выполняется только локальная интерполяция с использованием информации о структуре внутреннего переходного слоя; во втором случае ( $\varepsilon$ -независимая сетка) необходимо производить полную интерполяцию.

Пример результатов численных расчетов представлен на фиг. 5.

## 5. ЗАКЛЮЧЕНИЕ

Использование численных методов для решения сингулярно возмущенных задач, как правило, сталкивается с проблемами, связанными с наличием малого параметра: чем меньше параметр, тем менее точным и менее устойчивым получается численное решение. С другой стороны, чем меньше параметр, более точную априорную информацию о решении можно получить на основе асимптотического анализа. Этот факт дает возможность для продуктивного сочетания асимптотического и численного подходов с целью существенного повышения эффективности вычислительного эксперимента.

На основе этих идей предложен аналитико-численный метод для решения некоторых классов сингулярно возмущенных уравнений типа реакция–диффузия–адвекция, позволяющий существенно повысить устойчивость и скорость численных расчетов по сравнению с классическими подходами. Разработанный алгоритм с использованием динамически адаптированных сеток был

применен авторами и показал высокую эффективность для решения систем с малыми параметрами (см. [14]), а также оптимизации решения обратных задач для сингулярно возмущенных уравнений типа реакция–диффузия–адвекция (см. [19]).

### СПИСОК ЛИТЕРАТУРЫ

1. *Shishkin G.* Grid approximation of a singularly perturbed quasilinear equation in the presence of a transition layer // Russian Acad. Sci. Dokl. Math. 1993. V. 47. № 1. P. 83–88.
2. *O’Riordan E., Shishkin G.* Singularly perturbed parabolic problems with non-smooth data // J. of Comput. and Appl. Math. 2004. 66. № 1. P. 233–245.
3. *Franz S., Kopteva N.* Green’s function estimates for a singularly perturbed convection-diffusion problem // J. Differential Equations. 2012. V. 252. № 2. P. 1521–1545.
4. *Kopteva N.* Numerical analysis of a 2d singularly perturbed semilinear reaction-diffusion problem // Lecture Notes in Computer Sci. 2009. V. 5434. P. 80–91.
5. *Kopteva N., O’Riordan E.* Shishkin meshes in the numerical solution of singularly perturbed differential equations // Internat. J. of Numerical Analysis and Modeling. 2010. V. 1. № 1. P. 1–18.
6. *Farrell P., Hegarty A., Miller J., O’Riordan E., Shishkin G.* Robust computational techniques for boundary layers // Chapman and Hall/CRC, Boca Raton, FL. 2000.
7. *O’Riordan E., Quinn J.* Numerical method for a nonlinear singularly perturbed interior layer problem // Lect. Notes in Comput. Sci. and Eng. 2011. V. 81. P. 187–195.
8. *O’Riordan E., Quinn J.* Parameter-uniform numerical method for some linear and nonlinear singularly perturbed convection-diffusion boundary turning point problems // BIT Numerical Math. 2011. V. 51. № 2. P. 317–337.
9. *Kopteva N., Stynes M.* Numerical analysis of a singularly perturbed nonlinear reaction-diffusion problem with multiple solutions // Applied Numerical Math. 2004. V. 51. P. 273–288.
10. *Kopteva N., Stynes M.* Stabilised approximation of interior-layer solutions of a singularly perturbed semilinear reaction-diffusion problem // Numerische Math. 2011. V. 119. № 2. P. 787–810.
11. *Shishkin G.I., Shishkina L.P., Hemker P.W.* A class of singularly perturbed convection-diffusion problems with a moving interior layer. An a Posteriori Adaptive Mesh Technique // Comput. Meth. Appl. Math. 2004. V. 4. № 1. P. 105–127.
12. *Shishkin G.* Grid approximation of a singularly perturbed parabolic equation on a composite domain in the case of a concentrated source on a moving interface // Comput. Math. and Math. Phys. 2003. V. 43. № 12. P. 1738–1755.
13. *Shishkin G.* Necessary conditions for  $\varepsilon$ -uniform convergence of finite difference schemes for parabolic equations with moving boundary layers // Comput. Math. and Math. Phys. 2007. V. 47. № 10. P. 1636–1655.
14. *Melnikova A., Levashova N., Lukyanenko D.* Front dynamics in an activator-inhibitor system of equations // Lect. Notes in Comput. Sci. 2017. V. 10187. P. 492–499.
15. *Volkov V., Lukyanenko D., Nefedov N.* Asymptotic-numerical method for the location and dynamics of internal layers in singular perturbed parabolic problems // Lect. Notes in Comput. Sci. 2017. V. 10187. P. 721–729.
16. *Quinn J.* A numerical method for a nonlinear singularly perturbed interior layer problem using an approximate layer location // Comput. and Appl. Math. 2015. V. 290. № 15. P. 500–515.
17. *Lukyanenko D., Nefedov N., Nikulin E., Volkov V.* Use of asymptotics for new dynamic adapted mesh construction for periodic solutions with an interior layer of reaction-diffusion-advection equations // Lect. Notes in Comput. Sci. 2017. V. 10187. P. 107–118.
18. *Nefedov N., Recke L., Schneider K.* Existence and asymptotic stability of periodic solutions with an interior layer of reaction-advection-diffusion equations // J. of Math. Analysis and Appl. 2013. V. 405. № 1. P. 90–103.
19. *Lukyanenko D.V., Shishlenin M.A., Volkov V.T.* Solving of the coefficient inverse problems for a nonlinear singularly perturbed reaction-diffusion-advection equation with the final time data // Communicat. in Nonlinear Sci. and Numerical Simulat. 2018. V. 54. P. 233–247.
20. *Al’shinn A.B., Al’shina E.A., Kalitkin N.N., Koryagina A.B.* Rosenbrock schemes with complex coefficients for stiff and differential algebraic systems // Comput. Math. and Math. Phys. 2006. V. 46. № 8. P. 1320–1340.
21. *Kalitkin N.N., Al’shin A.B., Al’shina E.A., Rogov B.V.* Computations on Quasi-Uniform Grids. Moscow: Fizmatlit, 2005 [in Russian].